

그림 1 Wheaton Bridge

체에 균형을 이루도록 한다. 그리하여, 이 때에 흐르는 전류는 프로브 P에서 공기저항에 의해 받는 저항치에 기인됨을 알 수 있다. 이 때에 저항치로 나타나는 값은 방향에는 관계없이 프로브 P에 수직으로 작용하는 값의 합으로 나타나게 된다.

그리하여, 공기속도에 따라 프로브에 미치는 저항치가 변하게 되므로 유속의 변화에 대한 전류의 변화를 상호 함수관계로 놓고 이를 측정하기에 간편하게 사용가능한 함수식을 얻기 위하여는 하기와 같은 과정을 거쳐야 한다. 다만 프로브의 저항치는 온도의 변화에 영향을 받으므로 측정실내의 온도는 등온을 유지하여야 한다.

2.1. King의 법칙

—기호 설명—

- A, B : 열선의 특성에 따라 정해지는 상수
- a : 열선의 가열계수, $a = (R_1 - R_0) / R_0$
- d : 열선의 직경
- E : 열선풍속계의 출력(volt)
- E_1 : 프로브(1)에 의한 열선풍속계의 출력
- E_2 : 프로브(2)에 의한 열선풍속계의 출력
- E_{lin} : 선형제(linearizer)를 거쳐 나오는 출력
- e'_{1^2} : 열선풍속계의 파동출력
- e'_{2^2} : 열선풍속계의 파동출력
- g : 중력가속도
- h : 압력수두
- I : 전류
- K' : 측정조건에 따라 정해지는 상수
- k : $(A+B)^2 \cdot a / (a+1)$. 열선의 계수
- l : 열선의 길이
- m : 지수
- n : 지수 $n = \frac{1}{m}$

- R : 온도 T에서의 유체유동에 대한 저항
- R_1 : Wheaton Bridge에서의 열선의 저항
- R_0 : 온도 T_0 에서의 열선의 저항
- S_1, S_2 : 열선의 계수
- \bar{U} : 피토우관에 의한 측정 유속
- \bar{U}_1 : 프로브(1)에 수직한 유속(그림 5 참조)
- \bar{U}_2 : 프로브(2)에 수직한 유속(그림 5 참조)
- U_a : 열선에 평행한 속도벡터 성분
- U_n : 열선에 수직한 속도벡터
- U_{eff} : 열선의 순간 유효 냉각속도 성분
- \bar{U}_{eff} : 열선에 의한 평균 냉각속도 성분
- \bar{U}_{eff}^* : \bar{U}_{eff} 의 측정치
- u : 유동방향의 속도성분
- u'^2 : 유동방향의 베리언스(variance)
- u^* : u의 측정치
- w : 유동방향에 수직한 속도성분
- w^* : w의 측정치
- w'^2 : 유동방향에 수직한 베리언스
- $u'w'$: 코베리언스(covariance)

가열된 열선의 주위 유체에 대한 열전달은 유체의 유동속도 함수로 되어 있다. 이 관계를 식으로 나타내면 ;

$$RI^2 = (A_1 + B_1 \bar{U}^n)(T - T_0) \quad (1)$$

식 (1)을 좀더 간편하게 나타내면 ;

$$E^2 = k(A_1 + B_1 \bar{U}^n) \quad (2)$$

A_1 과 B_1 을 상수로 놓고 식 (2)를 King은 다음과 같이 간편하게 표기 하였으며 이 이론을 King의 법칙이라고 한다.

$$E^2 = A + B^n \quad (3)$$

King은 떡(霧)법칙으로 되어 있는 식 (3)을 보다 사용하기에 간편하게 하기 위하여 다음과 같은 간단한 식으로 표시하였다.

$$E = k\bar{U} \quad (4)$$

2.2. 직선화 (Linearization)이론

식 (3)에 표기된대로 열선풍속계에서 나오는 출력과 피토우관으로 측정된 유속 \bar{U} 의 관계를 도시하면 이는 그림 2와 같이 되어 사용하는 데에 불편하다.

King의 법칙은

$$E^2 = A + B\bar{U}^n = A + B^{\frac{1}{m}} \quad (5)$$

$$\begin{cases} F_1 = k\bar{U}_1 \\ E_2 = k\bar{U}_2 \end{cases} \quad (10)$$

열선의 특성에 따라 E 와 \bar{U} 의 관계식에서 E 축의 절편을 갖는 $E = k\bar{U} + C$ 와 같은 식으로 구해지기도 하나 $C=0$ 가 되도록 열선풍속계의 조정이 필요하다.

식 (10)은 다시

$$\begin{cases} \bar{U}_1 = u + w = E_1/k \\ \bar{U}_2 = u - w = E_2/k \end{cases} \quad (11)$$

E_1 과 E_2 를 제하고 표시하면

$$\begin{cases} e'_1 = k(u' + w') \\ e'_2 = k(u' - w') \end{cases} \quad (12)$$

여기에서

$$\begin{aligned} \overline{(e'_1 + e'_2)^2} &= 4k^2 \overline{v'^2} \\ \overline{(e'_1 - e'_2)^2} &= 4k^2 \overline{w'^2} \\ \overline{e'^2_1 - e'^2_2} &= 4k^2 \overline{u'w'} \end{aligned} \quad (13)$$

3.2. 측정치 교정

강한 난류성분들을 갖는 유동역에서의 레이놀즈 응력성분들($\overline{u'^2}$, $\overline{w'^2}$, $\overline{u'w'}$)을 정확하게 측정하기에는 극히 어려운 점이 많아 때때로 측정오차를 가져오는 수가 많다.

\bar{U}_{eff} 를 열선의 순간냉각속도라 하고 U_n 및 U_a 를 열선에 수직 및 축방향의 순간속도 벡터성분이라 하면 \bar{U}_{eff} 값은 항상 陽(+)¹⁾의 값을 가지므로,

$$\bar{U}_{eff} = 1 \sqrt{\overline{V_n^2} + k_a^2 \overline{V_a^2}} \quad (14)$$

가 되고, 속도성분들은

$$\begin{cases} u = \bar{U} + u' \\ v = \bar{V} + v' \\ w = \bar{W} + w' \end{cases} \quad (15)$$

이므로, 여기서 $v=w=0$ 으로 놓고 열선이 u 의 방향에 수직하다면 일반적으로

$$\begin{aligned} U_{eff} &= \sqrt{(\bar{U} + u')^2} = |\bar{U} + u'| \neq \bar{U} + u' \\ \bar{U}_{eff} &= \overline{|\bar{U} + u'|} \neq \bar{U} \\ \overline{(U_{eff} - \bar{U}_{eff})^2} &= \overline{(|\bar{U} + u'| - |\bar{U} + u'|)^2} \neq \overline{u'^2} \end{aligned} \quad (16)$$

가 되어, 오차를 가져오기 쉬우며 $\overline{u'w'}$ 의 경우도 마찬가지이다. 그리하여 1975년 TUTU와

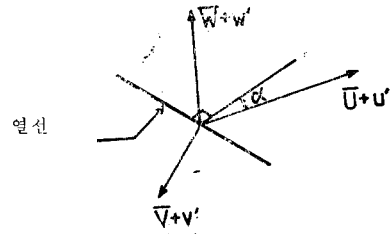


그림 6 열선과 유동방향의 관계

CHEVRAY는 교정방법을 다음과 같이 제시하였다. 열선이 u, w 의 유동평면에 있고 α 를 u 의 유동방향과 열선에 수직한 방향이 이루는 각이라고 하면 열선의 냉각유효속도는

$$\begin{aligned} \bar{U}_{eff} &= [(\bar{U} + u')\cos\alpha + (\bar{W} + w')\sin\alpha]^2 + v^2 \\ &\quad + k^2[(\bar{U} + u')\sin\alpha - (\bar{W} + w')\cos\alpha]^2 \end{aligned} \quad (17)$$

고로 유동축에 ± 450 를 이루고 있는 X형 열선의 경우는

$$\begin{aligned} \bar{U}_{eff}(\alpha=45^\circ) &= \bar{U}_{eff}^{(1)} \\ &= 2^{-1/2}[(u+w)^2 + 2v^2 + k_a^2(u-w)^2]^{1/2} \\ \bar{U}_{eff}(\alpha=-45^\circ) &= \bar{U}_{eff}^{(2)} \\ &= 2^{-1/2}[(u-w)^2 + 2v^2 + k_a^2(u+w)^2]^{1/2} \end{aligned} \quad (18)$$

또 E_1, E_2 와의 관계식으로 나타내면

$$\begin{aligned} E_1 &= S_1[(u+w)^2 + 2v^2 + k_a^2(u-w)^2]^{1/2} \\ E_2 &= S_2[(u-w)^2 + 2v^2 + k_a^2(u+w)^2]^{1/2} \end{aligned} \quad (19)$$

만약 프로브의 교정이 층류유동역에서 이루어졌다면 ($u'=v'=w'=0$) u 의 유동축상에서는 ($U=u, v=w=0$)

$$\begin{aligned} E_i &= S_i U \sqrt{1+k_a^2} \\ (i=1, 2) \end{aligned} \quad (20)$$

여기서 기울기는 $S_i \sqrt{1+k_a^2}$ 이므로

$$\bar{U}_{eff}^{(i)} = \frac{E_i}{S_i \sqrt{1+k_a^2}} \quad (21)$$

고로

$$\begin{aligned} \sqrt{2} \bar{U}_{eff}^{*(1)} &= [(u+w)^2 + 2v^2 + k_a^2(u-w)^2]^{1/2} / \sqrt{1+k_a^2} \\ \sqrt{2} \bar{U}_{eff}^{*(2)} &= [(u-w)^2 + 2v^2 + k_a^2(u+w)^2]^{1/2} / \sqrt{1+k_a^2} \end{aligned} \quad (22)$$

가 되며, k_a 와 v 를 무시하면

$$\begin{cases} \sqrt{2} \bar{U}_{eff}^{*(1)} = u^* + w^* \\ \sqrt{2} \bar{U}_{eff}^{*(2)} = u^* - w^* \end{cases} \quad (23)$$

상기 두식들은

$$u^* + w^* = [(u+w)^2 + 2v^2 + k_a^2(u-w)^2]^{\frac{1}{2}} / \sqrt{1+k_a^2} \quad (24)$$

$$u^* - w^* = [(u-w)^2 + 2v^2 + k_a^2(u+w)^2]^{\frac{1}{2}} / \sqrt{1+k_a^2}$$

식 (24)를 자승하여 뺀다음 u^* 를 $\bar{U}^* + u'^*$ 로, w^* 를 $\bar{W}^* + w'^*$ 로 대치하면

$$(\bar{U}^* + u'^*)(\bar{W}^* + w'^*)(1+k_a^2) = (\bar{U} + u')(\bar{W} + w')(1-k_a^2) \quad (25)$$

평균치를 취하면

$$\bar{u}'\bar{w}' = \bar{U}^*\bar{W}^* \frac{1+k_a^2}{1-k_a^2} - \overline{W'u'^*w'^*} \frac{1+k_a^2}{1-k_a^2} \quad (26)$$

\bar{U} 와 \bar{W} 는 이론적인 평균유속을 나타내는 미지의 값이며 \bar{U}^* 와 \bar{W}^* 는 정확한 측정치이므로 코베리언스의 교정식을 식(26)으로 부터 얻을 수 있다.

$$\bar{u}'\bar{w}'_c = \bar{U}^*\bar{W}^* \frac{2k_a^2}{1-k_a^2} + \overline{u'^*w'^*} \frac{1+k_a^2}{1-k_a^2} \quad (27)$$

이 식에서 측정치 \bar{W}^* 는 거의 무시할 수 있으며, CHAMPAGNE, SLEICHER, WEHRMANN은 열선의 계수 k_a 는 l/d 에 비례하는 것으로 사용하는 $l/d=250$ 의 열선의 경우 $k_a=0.18$ 로 놓았을 때 식 (27)은 다음과 같은 간단한 교정식으로 나타낼 수 있다.

$$\bar{u}'\bar{w}'_c = 1.067\overline{u'^*w'^*} \quad (28)$$

그림 7은 2차원 유동 측정의 열선풍속계 시스템의 설치도이다.

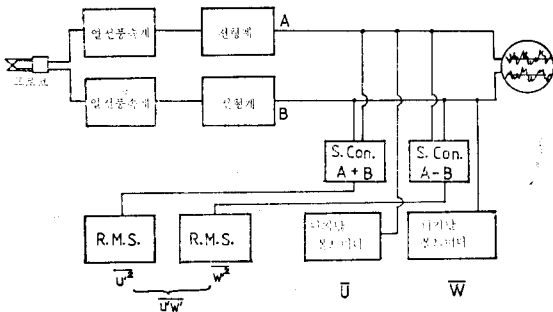


그림 7 2차원 유동측정 열선풍속계의 장치도

4. 맺는말

유체유동의 대부분은 2차원유동이나 공학적인 설계에서는 대개 일차원유동으로 간주하고 점성의 영향마저도 무시해 버리는 수가 많다.

소용돌이 유동이나 유동방향이 일정하지 않은 유동에서는 열선풍속계에 의한 측정이 불가능하다. 왜냐하면 앞에서 설명한 바와 같이 열선에 의해 나타나는 저항치는 열선에 작용하는 유체 유동의 방향에는 관계없이 열선이 받고 있는 총 저항치가 나타나기 때문에 어느 방향에 대한 정확한 유속을 측정하기가 어렵기 때문이다.

또한 피토우관에 의한 측정 역시 직경의 크기에 따라 한 위치의 측정치에 대한 속도장의 크기가 다르고 정확한 유동방향이 알려지지 않는 한 측정치가 실제 유동방향에 대한 유속과 동일하다고 말할 수 있다. 나아가서 유속측정시 때때로 피토우관에 의한 측정의 경우 陰壓이 나타나는 경우가 있으나 이 경우에도 유속의 크기와 방향 등을 정확히 판별하기가 어려우며, 아직까지 피토우관에 의한 陰速 측정과 해석방법은 구명되지 않고 있다.

그러므로, 이상에서 설명한 피토우관 열선풍속계에 의한 측정에서는 유동 방향이 분명하거나 可視化(visualization)에 의한 유동방향을 점검한 후에 사용하여야 될 것이다. 따라서 열선풍속계 사용시에는 등온을 유지하여야 되기 때문에 교정당시의 실내온도나 실험 당시의 실내온도는 동일하여야 하며, 습도의 조절이 필요하고 시험부(test section)를 흐르는 공기는 최대로 먼지를 제거하여 열선 주위에 부착되어 열선의 감도의 감소를 가져와 점차적인 저항치의 감소 현상을 막아야 한다.

참 고 문 헌

1. B.J. Rho; Contribution à l'étude d'un écoulement de jet turbulent en forme de nappe conique, 1979.

(343페이지에 계속)